

09864280.052501

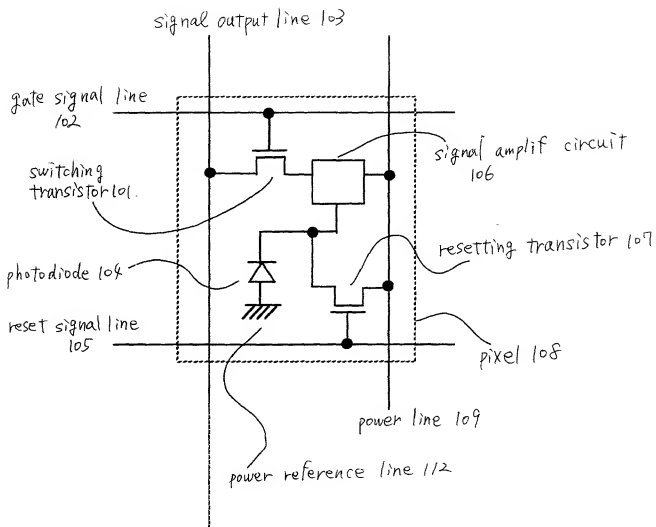


Fig. 1

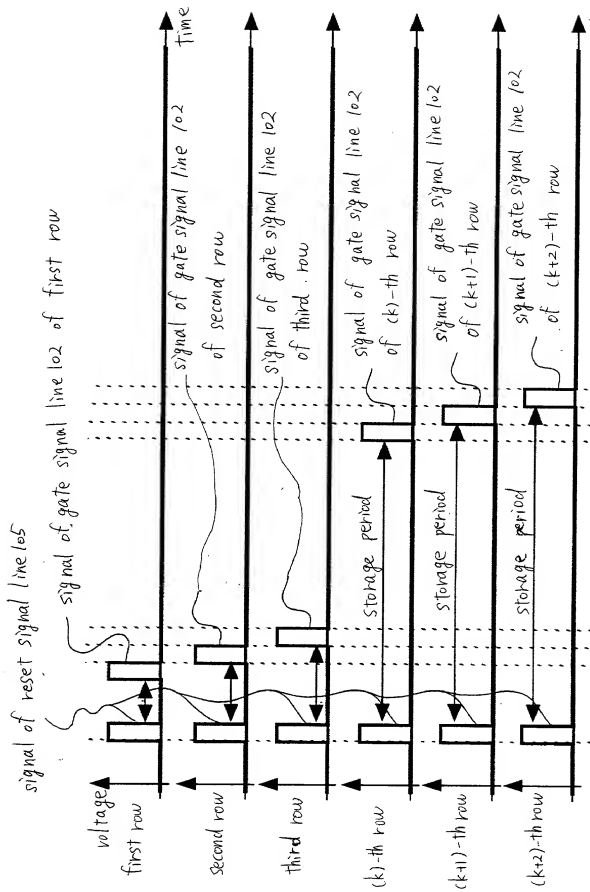


Fig. 2

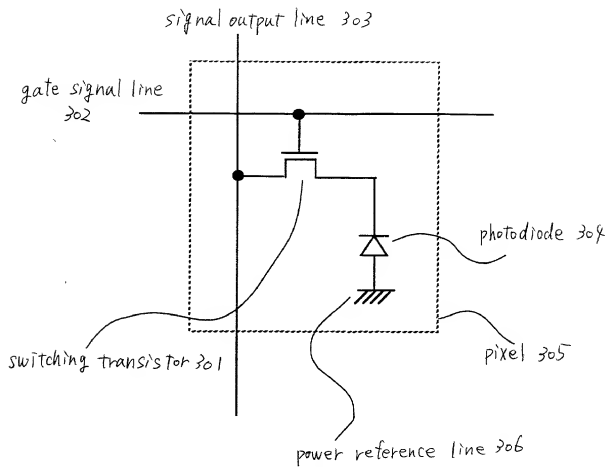


Fig. 3

Prior Art

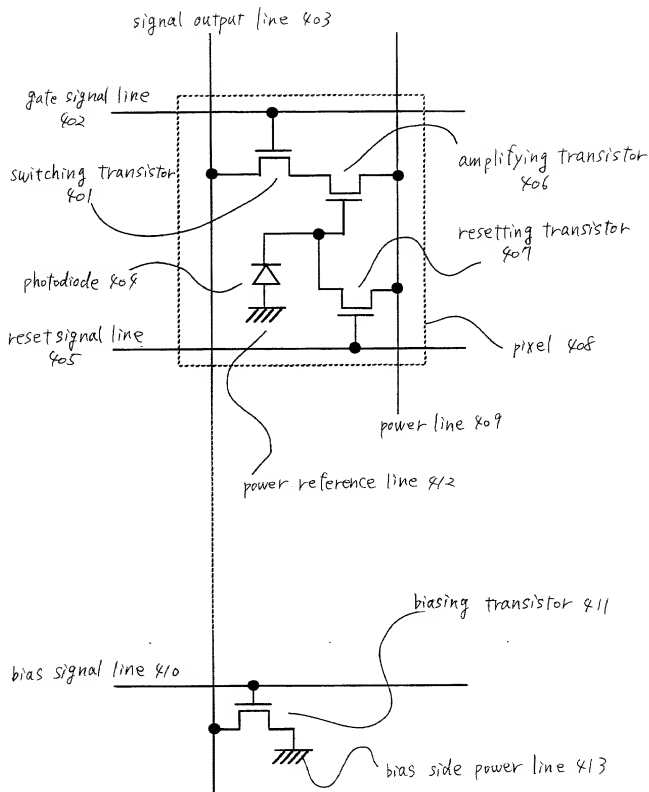


Fig. 4

Prior Art

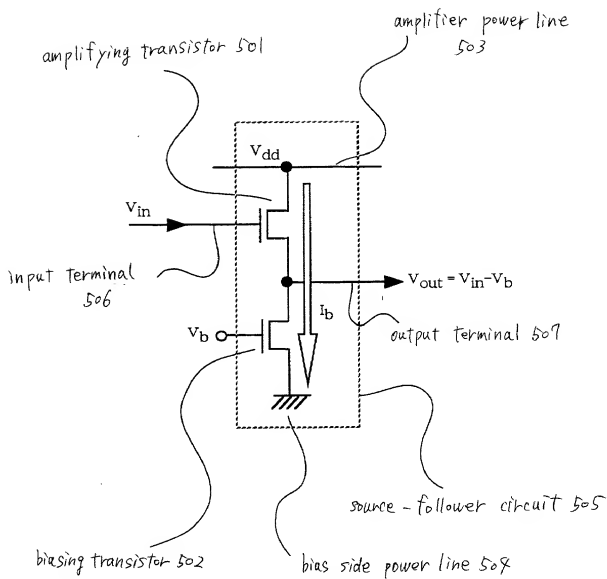


Fig. 5

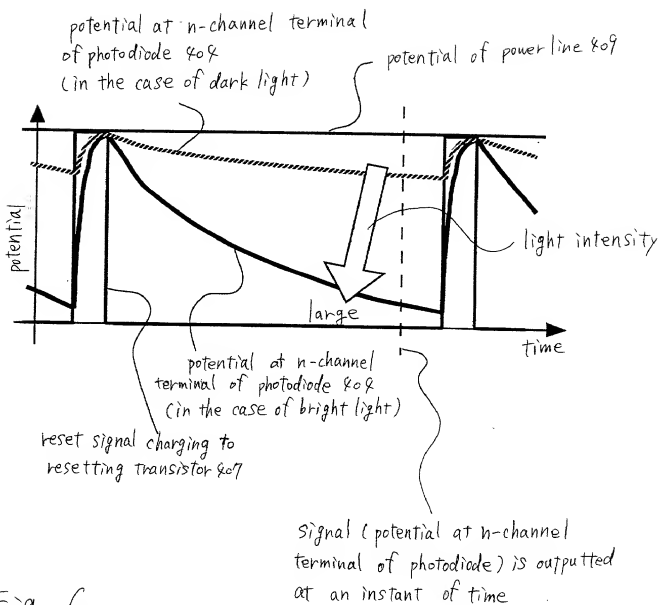


Fig. 6

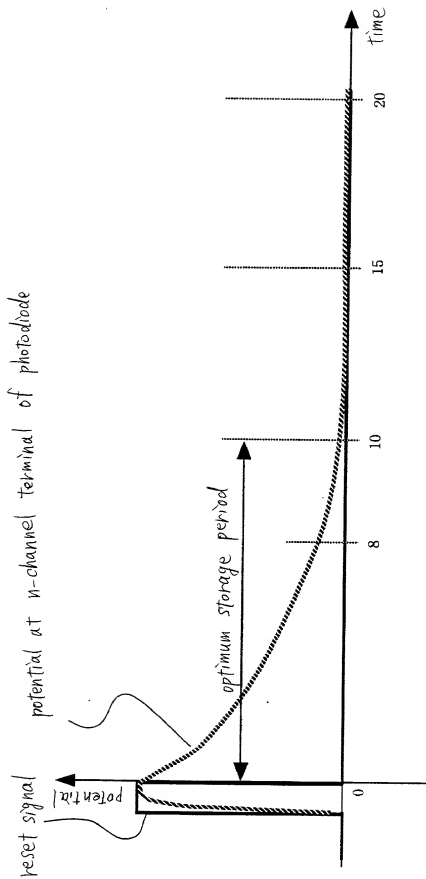


Fig. 17

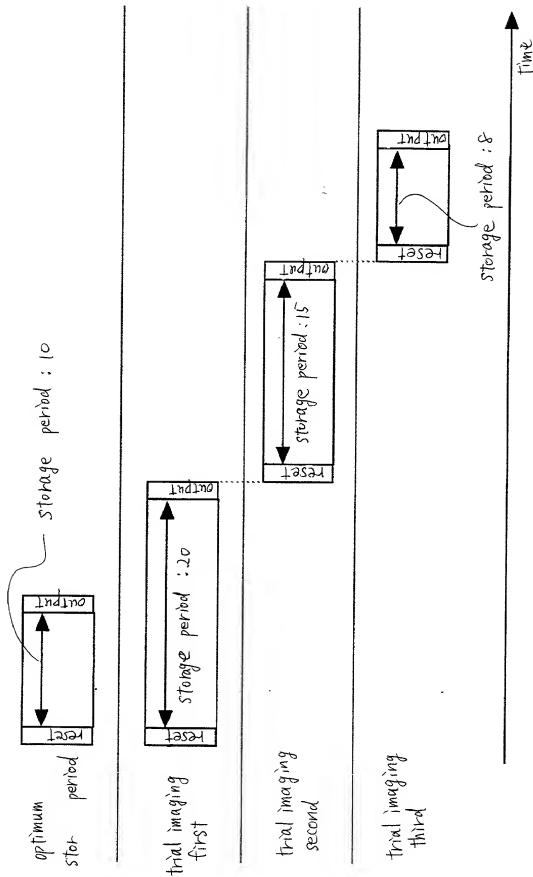


Fig. 8



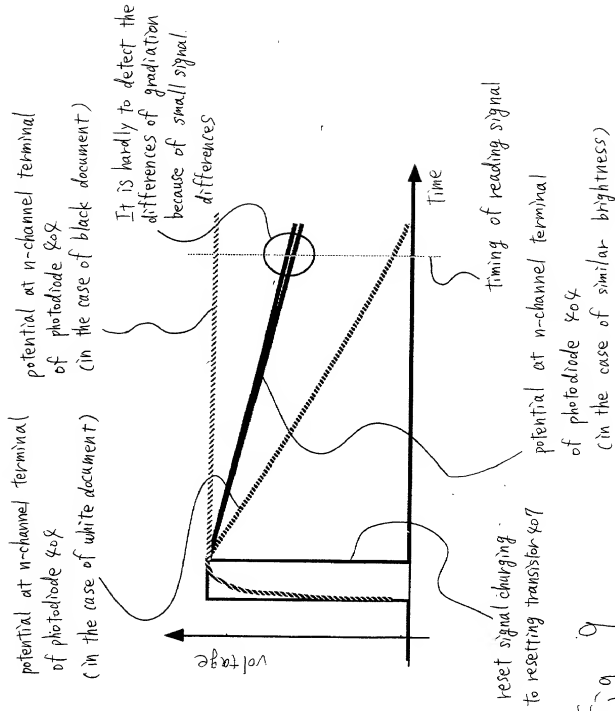


Fig. 9

09864280.052501

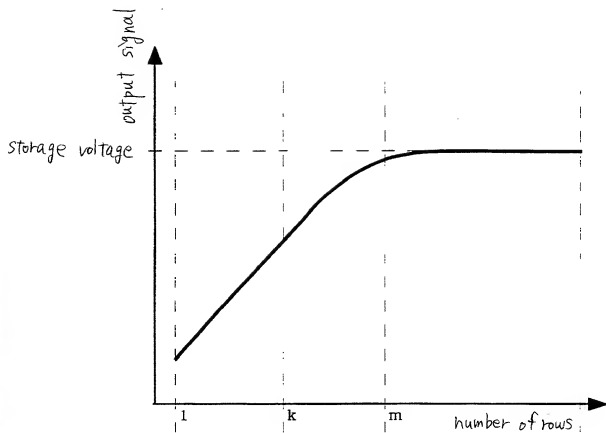
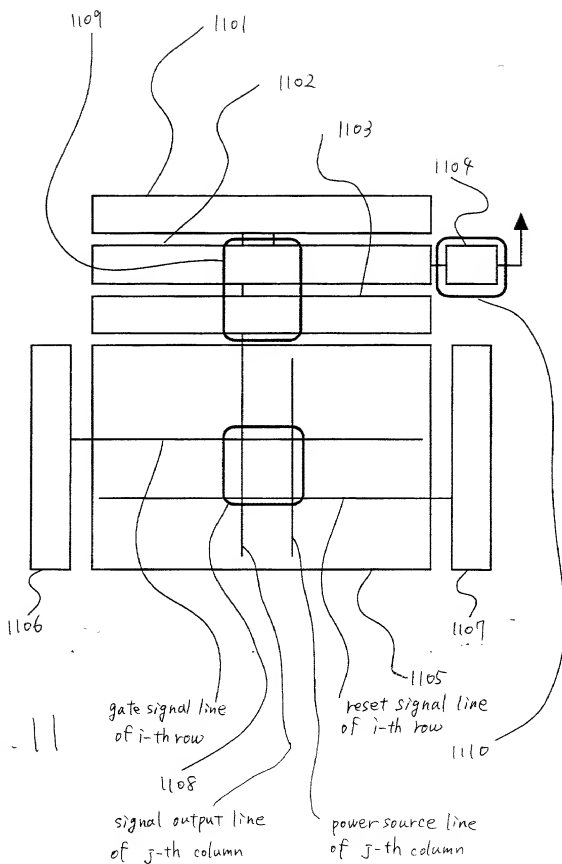


Fig. 10

Fig. 11



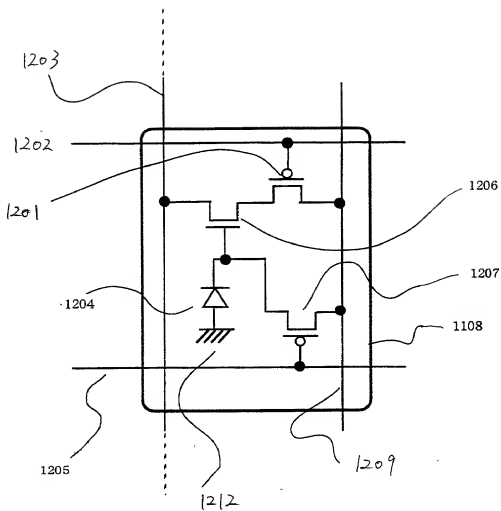


Fig. 12

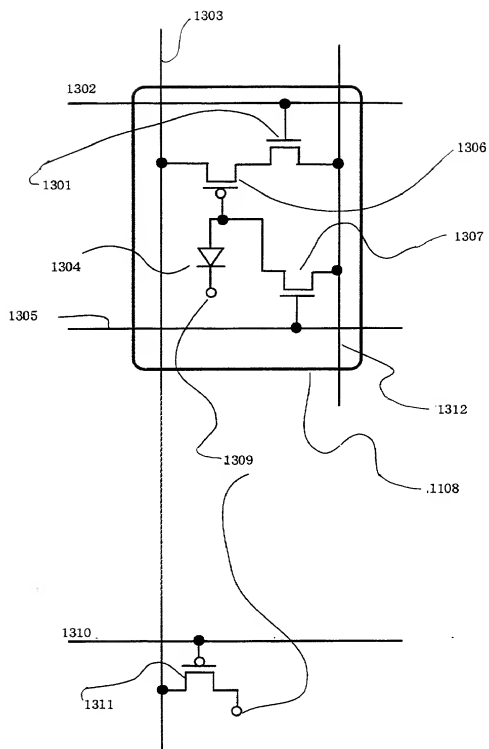


Fig. 13

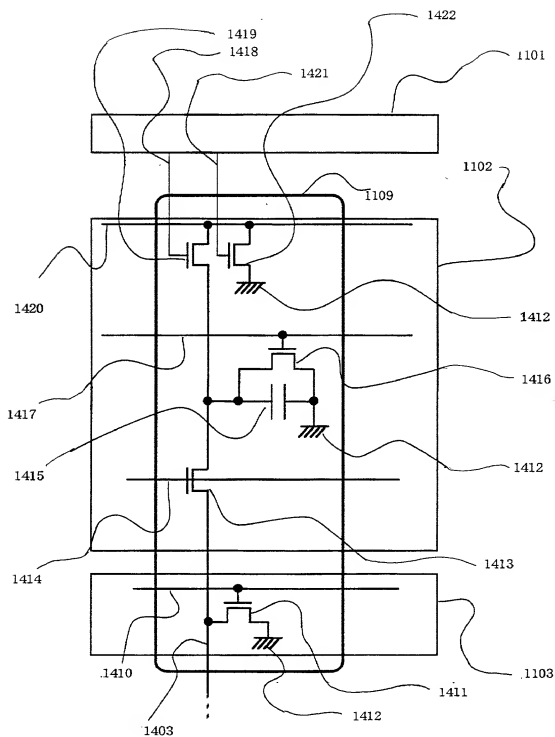
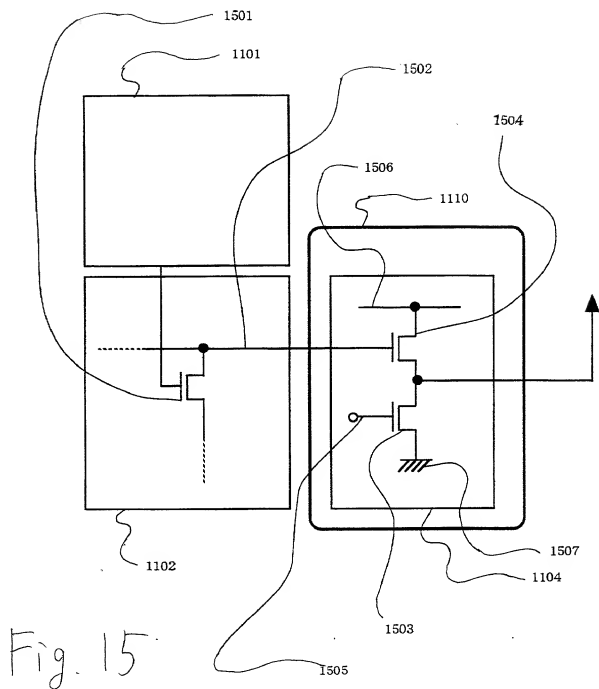


Fig. 14



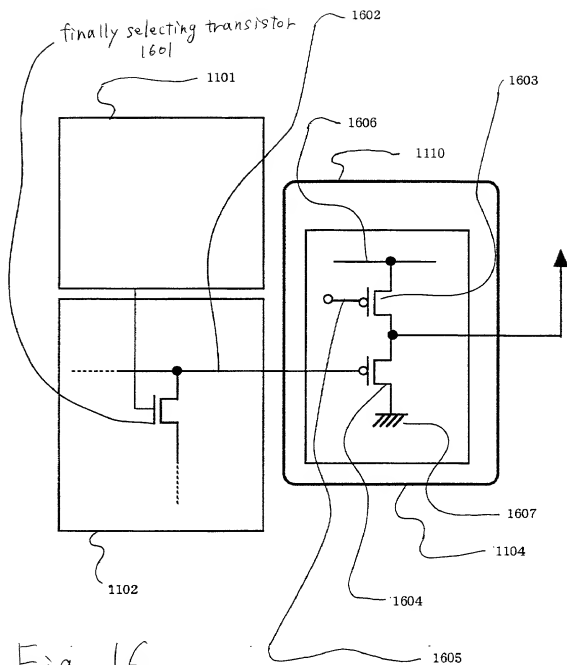


Fig. 16



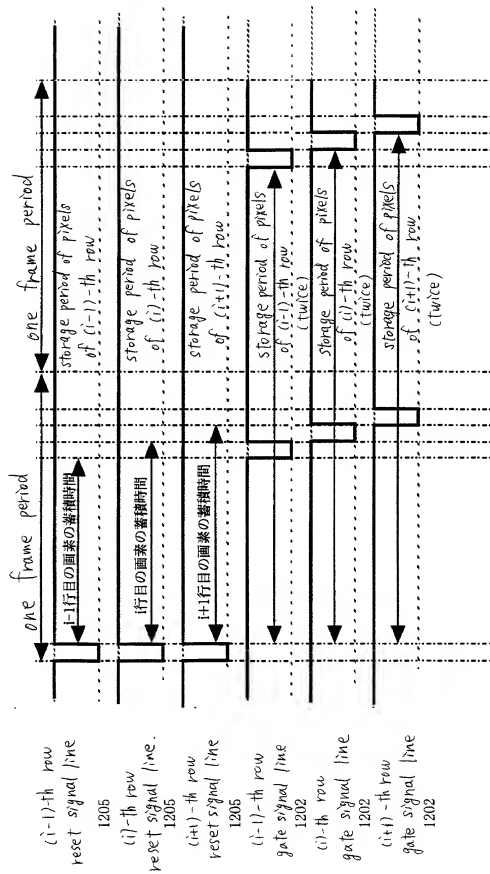


Fig. 17

105250-08219860  
scanning period of driving circuit  
for signal output line

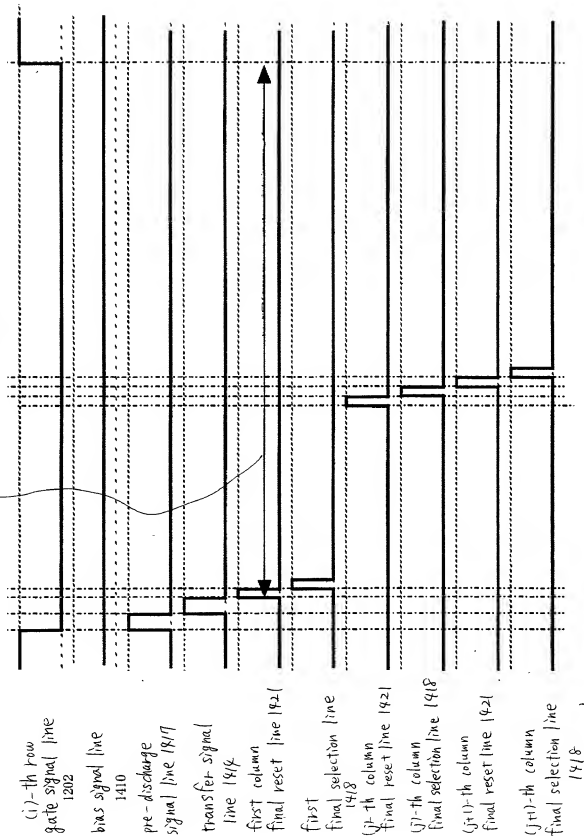


Fig. 18

09664280.052501

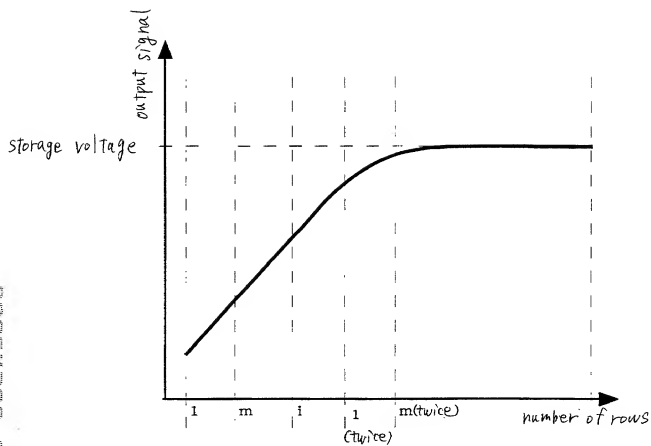


Fig. 19

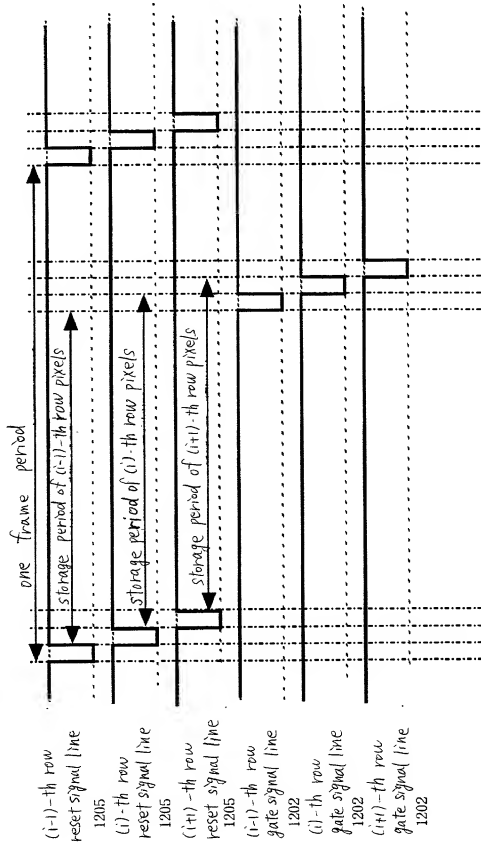


Fig. 20

09864280.052501

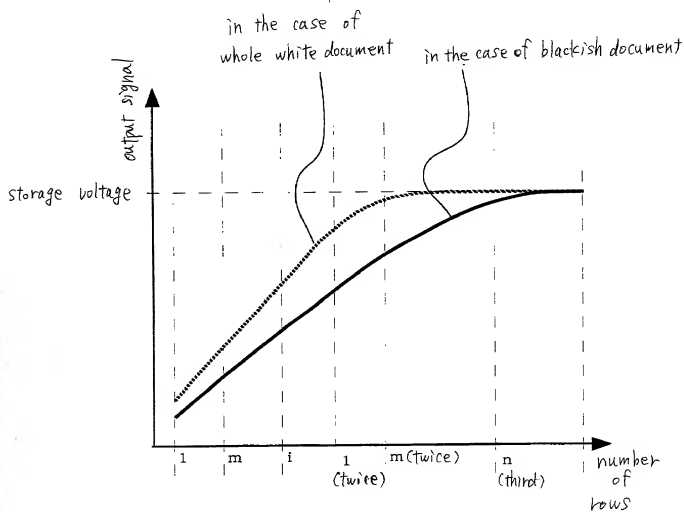


Fig. 21

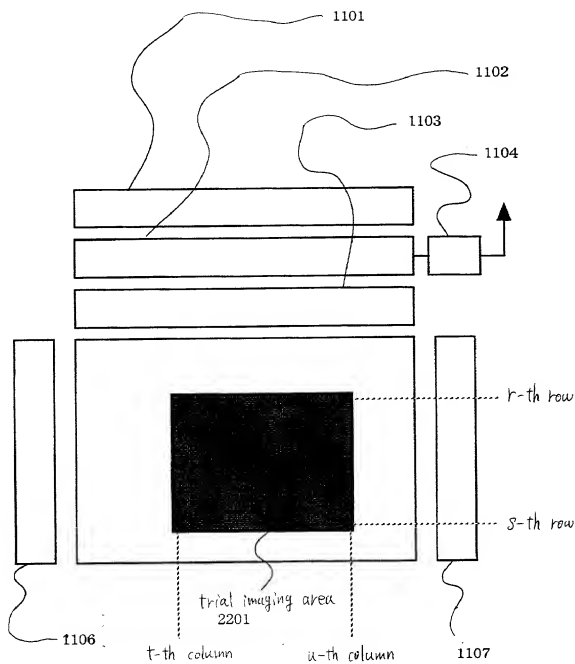


Fig. 22

Fig. 23A

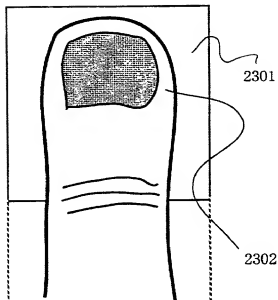
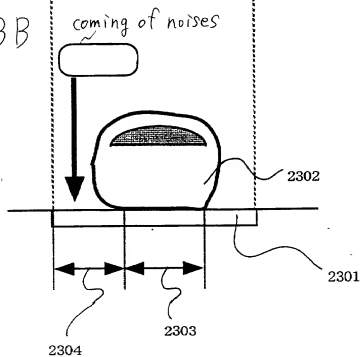


Fig. 23B



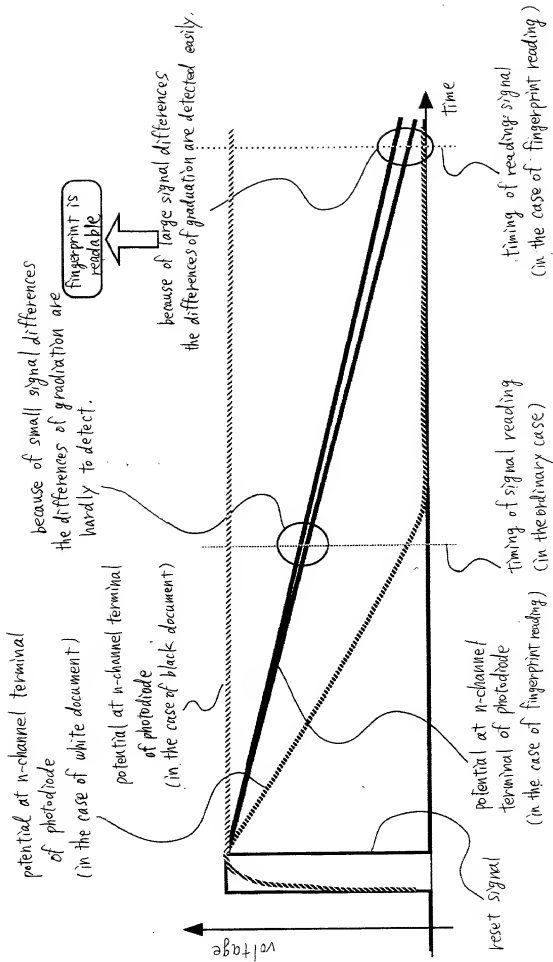


Fig. 24



process of crystallization

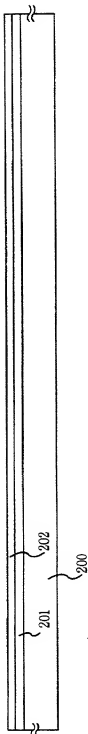


Fig. 25A

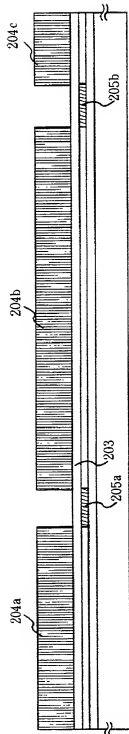


Fig. 25B

process of laser anneal

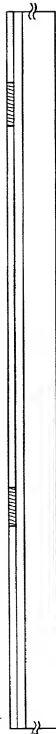


Fig. 25C



Fig. 25D

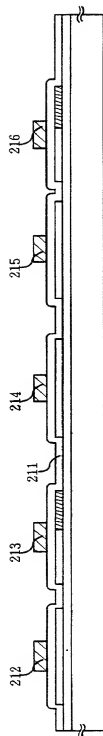


Fig. 26A

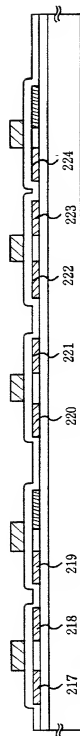


Fig. 26B

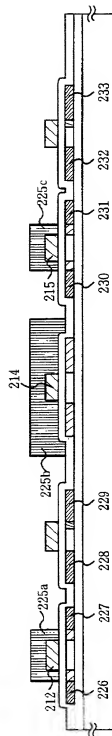


Fig. 26C

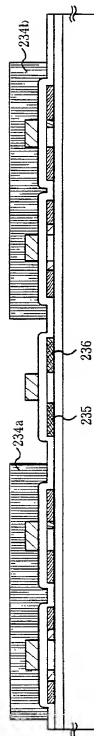


Fig. 26D

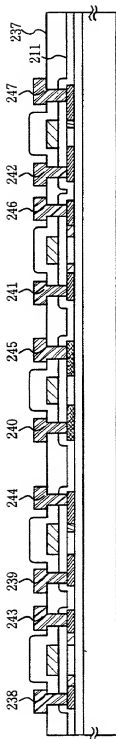


Fig. 27A

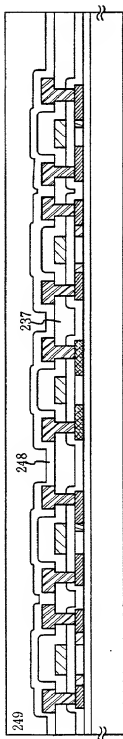


Fig. 27B

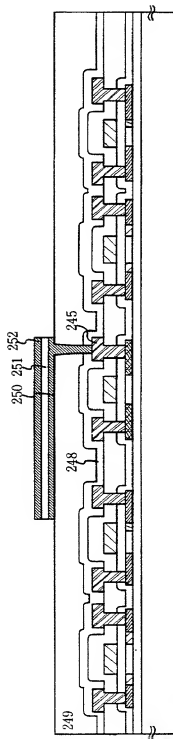


Fig. 27C

Fig. 28A

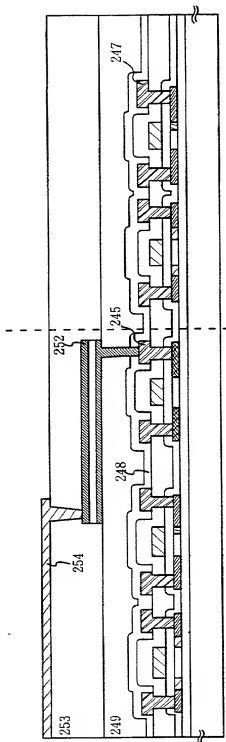
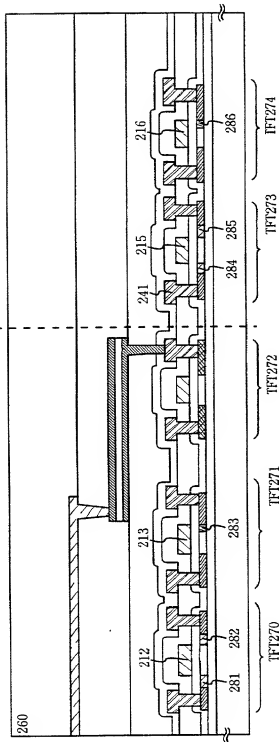


Fig. 28B



09864280.052501

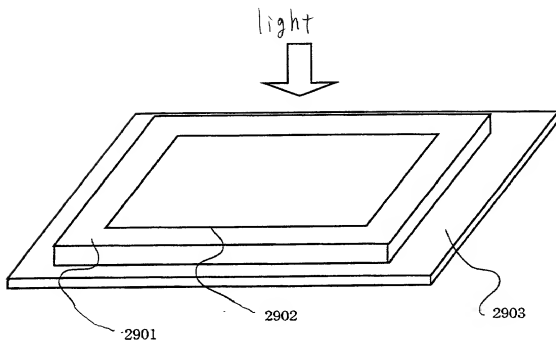


Fig. 29A

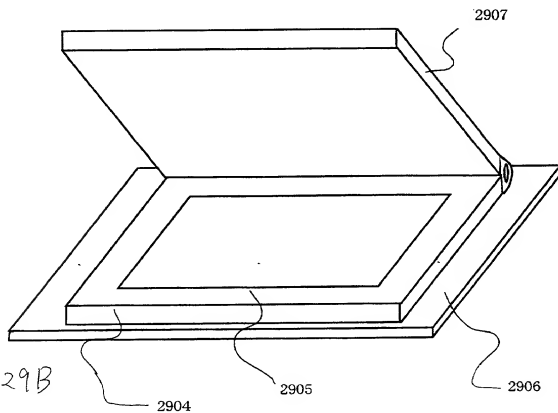


Fig. 29B

Fig. 30A

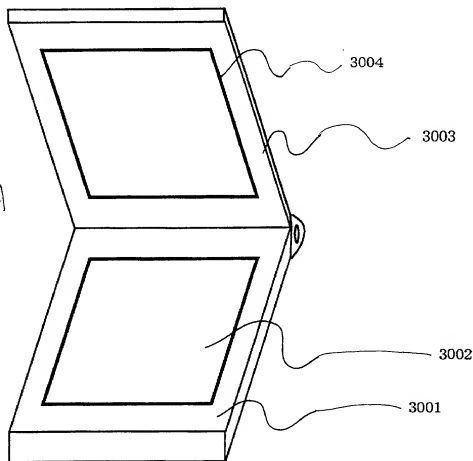
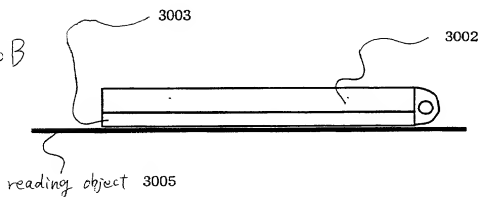


Fig. 30B



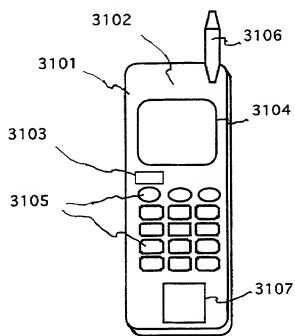


Fig. 31